

Compensating GPS Signal Deception Error by Using Wavelet Transform Based on PSO Algorithm in Receiver Acquisition Section

R. Soleimani Majd, S. Tohidi, S. M. R. Musavi Mirkalaei*

* Professor, Faculty of Electrical Engineering, Iran University of Science and Technology, Tehran, Iran

(Received: 30/11/2021, Accepted: 27/02/2022)

ABSTRACT

The spoofing attack is one of the most serious interferences in the Global Positioning System (GPS). By propagating a signal structurally similar to the original GPS signal, the spoofers try to influence the function of different parts of the receiver and force it to make a wrong positioning. This study focus on the acquisition stage. During the acquisition process, GPS receivers estimate the values of Doppler frequency and Pseudo Random Noise (PRN) code phase of the received signal, which are necessary for tracking the GPS satellite signals. One of the effects of the spoofing signal in the acquisition unit of the receiver is to increase the interactions in the Quadrature correlation taps (Q-correlation tap). In 2018, adding a denoising unit on the Q-correlation tap in the acquisition stage to reduce the interactions mentioned above was presented as a spoofing mitigation method. In this paper, the mentioned method is placed as the primary basis of the work. Here, by using powerful methods of evolutionary computing, the denoising unit added in the Q-correlation tap is tried to be optimally adjusted to mitigate the spoofing attack. Specifically, to achieve a more efficient denoising method for spoofing mitigation, the Particle Swarm Optimization (PSO) algorithm is proposed to determine the critical parameters of the Discrete Wavelet Transform (DWT) based on the Haar wavelet. In order to evaluate the proposed method, first, the noise reduction performance of the algorithm is measured on four benchmark signals, namely Blocks, Bumps, Heavy Sine, and Doppler. Then, compared to four traditional methods, namely, Rigrsure, Heursure, Sqtwolog, and Minimaxi, the developed de-nosing method outperformed the former methods by 47.3%, 38.4%, 47.3%, and 30%, respectively. Finally, the proposed algorithm was placed in the Q-correlation tap of the GPS receiver acquisition stage, and its performance in reducing the spoof effects was investigated. The results show that the proposed algorithm is 37.74% more efficient compared to the method that was considered the primary method.

Keywords: GPS Receiver, Spoofing Attack, Wavelet Transform, Particle Swarm Optimization, Noise Reduction.

*Corresponding Author Email: M_mosavi@iust.ac.ir

جبران سازی خطای فریب سیگنال GPS با به کارگیری تبدیل موجک مبتنی بر الگوریتم PSO در

بخش اکتساب گیرنده

رضا سلیمانی مجد^۱، سمیرا توحیدی^۲، سید محمدرضا موسوی میرکلانی^{۳*}

۱- دانشجوی کارشناسی، ۲- دانشجوی دکترا، ۳- استاد، دانشکده مهندسی برق، دانشگاه علم و صنعت ایران، تهران، ایران

(دریافت: ۱۴۰۰/۰۹/۰۹، پذیرش: ۱۴۰۰/۱۲/۰۸)

چکیده

فریب یکی از خطرناک‌ترین اختلالات در سامانه موقعیت‌یابی جهانی (GPS) است. فریب‌دهنده‌ها با ارسال سیگنالی که از نظر ساختاری کاملاً مشابه با سیگنال اصلی GPS است، تلاش می‌کنند عملکرد بخش‌های مختلف گیرنده را تحت تأثیر قرار دهند و آن را مجبور به موقعیت‌یابی اشتباه نمایند. این تحقیق بر مرحله اکتساب تمرکز دارد. در طی فرایند اکتساب، گیرنده‌های GPS مقادیر فرکانس داپلر و فاز کد شبه تصادفی (PRN) سیگنال دریافتی را که برای ردیابی سیگنال‌های ماهواره‌ای GPS ضروری هستند، تخمین می‌زنند. یکی از تأثیرات سیگنال فریب در بخش اکتساب گیرنده، افزایش فعل‌وانفعالات در شاخه‌های همبستگی متعامد (Q) است. در سال ۲۰۱۸، اضافه نمودن واحد نویززدایی بر روی شاخه همبستگی Q در مرحله اکتساب جهت کاهش فعل‌وانفعالات مذکور به‌عنوان یک روش مقابل با فریب ارائه گردید. در این مقاله، روش مذکور به‌عنوان پایه اصلی کار قرار گرفته است. در اینجا تلاش می‌شود با بهره‌گیری از روش‌های قدرتمند پردازش تکاملی، واحد نویززدایی اضافه‌شده در شاخه همبستگی Q با هدف مقابله با حمله فریب، به‌صورت بهینه تنظیم شود. به‌طور خاص، به‌منظور دستیابی به الگوریتم نویززدایی مناسب‌تر برای مقابله با اثرات فریب، به‌کارگیری الگوریتم تکاملی ازدحام ذرات (PSO) جهت تعیین پارامترهای کلیدی تبدیل موجک گسسته (DWT) بر پایه موجک مادر هار پیشنهاد شده است. به‌منظور ارزیابی روش پیشنهادی، ابتدا عملکرد الگوریتم را در کاهش نویز در چهار پایگاه داده الگو بلوک‌ها، برجستگی، سینوسی سنگین و داپلر سنجیده و با چهار روش نویززدایی معمول Heursure, Rigrsure, Sqrtwolog و Minimaxi مقایسه شده است که به ترتیب ۴۷/۳، ۳۸/۴، ۴۷/۳ و ۳۰ درصد کاهش نویز بیشتری حاصل شد. در نهایت، الگوریتم پیشنهادی در شاخه Q واحد اکتساب گیرنده GPS قرار داده شد و عملکرد آن در کاهش اثرات فریب بررسی گردید. نتایج حاصله، نشان‌دهنده برتری ۳۷/۷۴ درصدی الگوریتم پیشنهادی در مقایسه با روش پایه است.

کلیدواژه‌ها: گیرنده GPS، حمله فریب، تبدیل موجک، الگوریتم بهینه‌سازی ازدحام ذرات، نویززدایی

۱- مقدمه

عمدی GPS شناخته می‌شود. هدف فریب‌دهنده آن است که GPS به‌جای راه‌حل ناوبری صحیح، راه‌حلی غلط تولید کند. سیگنال جعلی به‌گونه‌ای طراحی می‌شود که بر سیگنال اصلی غلبه کند و کنترل گیرنده را بر عهده گیرد. به دلیل پایین بودن سطح توان سیگنال اصلی، یک تداخل کم‌توان به‌راحتی می‌تواند یک گیرنده GPS تجاری را در شعاع چند کیلومتری فریب دهد. هر سامانه فریب‌دهنده بسته به نوع آن، محدوده اثر مشخصی دارد که می‌تواند تنها در آن محدوده، گیرنده را منحرف کند. این حمله و همچنین مقابله با آن می‌تواند در هر یک از سطوح گیرنده از جمله بخش پردازش‌های آنالوگ، اکتساب، ردیابی، استخراج شبه‌فاصله و معادلات ناوبری صورت گیرد.

از آنجاکه سیگنال GPS توان کمی دارد، به‌شدت می‌تواند تحت تأثیر نویز و اغتشاشات محیط قرار گیرد. به همین دلیل، نویززدایی اهمیت بسیاری در فرایند اکتساب و مقابله با حمله فریب دارد. در این مقاله، هدف ارائه روش نویززدایی جدیدی

در دهه‌های اخیر، سامانه GPS^۱ به علت کارایی بالا و سادگی کار با آن در حوزه‌های گسترده‌ای مورد استفاده قرار گرفته است [۱]. این سامانه شامل ۲۴ ماهواره است که در شش طبقه مداری در حال چرخش هستند و در چنان آرایش فلکی قرار گرفته‌اند که در هر نقطه از زمین، حداقل چهار ماهواره در هر ساعتی از شبانه‌روز در دسترس باشند. ضعف بودن توان سیگنال‌های دریافتی از ماهواره‌های ارسال‌کننده در سطح زمین و راحتی دسترسی به ساختار سیگنال آن، باعث می‌شود در برابر حملات ناوبری، همچون حمله فریب آسیب‌پذیر شود. به همین دلیل، مسئله امنیت این سامانه بسیار اهمیت پیدا کرده و موضوع مورد بحث در بسیاری از پژوهش‌ها است [۲].

در حال حاضر، حمله فریب به‌عنوان خطرناک‌ترین خطای

* رایانامه نویسنده مسئول: M_mosavi@iust.ac.ir

^۱ Global Positioning System

بایست حضور سیگنال فریب را تشخیص دهد. در قدم بعد، جبران سازی یا کاهش اثر سیگنال فریب صورت می گیرد.

یکی از رویکردهای شناسایی فریب، مبتنی بر بررسی تغییرات توان سیگنال GPS است. در شرایط مناسب جوی، فقط تغییرات یونسفر و حرکت ماهواره‌ها، تغییرات هموار تدریجی در توان سیگنال دریافتی به وجود می آورند. هنگامی که توان بزرگ فریب دهنده، گیرنده GPS را گمراه می کند، در مقدار نسبت حامل به نویز^{۱۰} (C/N_0) اندازه گیری شده تغییرات ناگهانی به وجود می آید. گیرنده ضد فریب با نظارت بر میزان نسبت سیگنال به نویز^{۱۱} (SNR)، هر تغییر غیر معمولی را به عنوان احتمال فریب در نظر می گیرد [۱۸]. البته برخی از فریب دهنده‌های پیشرفته تر می توانند بدون آن که تغییر زیادی در توان سیگنال جعلی ایجاد کنند، گیرنده را تحت تأثیر خود قرار دهند.

دسته دوم روش های آشکارسازی فریب، روش های مبتنی بر زمان ورود^{۱۲} (TOA) است. در این روش ها، نظارت بر زمان دریافت سیگنال به عنوان معیار تشخیص فریب استفاده می شود. در واقع، در صورتی که انتقال بیت داده ناوبری در لحظاتی از زمان با فاصله گذاری کمتر یا بیشتر از ۲۰ms ثانیه رخ دهد، می توان به وجود حمله فریب پی برد [۱۹].

از دیگر شیوه های مقابله با فریب می توان به روش نظارت بر کیفیت سیگنال^{۱۳} (SQM) و نظارت بر تابع همبستگی اشاره کرد. حمله فریب باعث عدم تقارن های ناهنجار می گردد. بر این اساس، روش های SQM با تشخیص قله های غیر طبیعی در سیگنال و یا افزایش قله های هم بستگی، وجود فریب را اعلام می کنند. در سال های اخیر روش های جدید و قدرتمندی در این حوزه معرفی شده است. از جمله این روش ها، معیار Q-SQM [۲۰] می باشد. این معیار، انرژی قرار گرفته شده بر شاخه های همبستگی متعامد را تحت نظر گرفته و تغییرات آن را اعلان حضور فریب می داند. تابع تغییر شکل [۲۱] نیز معیار قدرتمند دیگری است که در سال ۲۰۲۲ معرفی شده است. این معیار بر تغییر شکل تابع همبستگی نظارت دارد. نویسندگان در مرجع [۲۲] تغییر شکل تابع همبستگی را با استفاده از گشتاور وزن دار مرتبه دوم آن، اندازه گیری نمودند. بهره گیری از تابع درست نمایی بیشینه احتمال^{۱۴} جهت سنجش میزان ناهنجاری در تابع همبستگی گیرنده GPS [۲۳ و ۲۴] نیز از جمله روش های ارائه شده در این حوزه است.

همچنین، در روش هایی دیگر از مقایسه اطلاعات سامانه GPS با دیگر سامانه های ناوبری همچون واحد اندازه گیری

برای کاهش حمله فریب است که نسبت به روش های متداول عملکرد بهتری داشته باشد. تا به حال، روش های فراوانی در حوزه نویز زدایی ارائه شده اند که برای نمونه می توان به فیلترهای خطی پایین گذر^۱ [۳]، فیلتر کالمن^۲ [۴] و فیلترهای وفقی^۳ مبتنی بر شبکه عصبی^۴ [۵] اشاره نمود؛ اما هر یک از این روش ها معایبی دارند. برای مثال، در صورتی که نویز محیط در فرکانس های پایین موجود باشد، فیلتر خطی پایین گذر نمی تواند عملکرد مناسبی داشته باشد [۶]. همچنین، روش های مبتنی بر زمان، همچون فیلتر میانه^۵ نمی توانند مدل مناسبی برای تخمین سیگنال باشند [۷]. به همین دلیل، استفاده از حوزه زمان یا مکان به تنهایی جهت نویز زدایی نتایج مناسب و قابل قبولی را ارائه نمی دهد [۸]. در نتیجه، ابزار ریاضی تبدیل موجک^۶ (WT) که دانوهو^۷ و جانستون^۸ آن را در مراجع [۹ و ۱۰] معرفی کردند، ابزار مناسبی برای این منظور است. چرا که تبدیل موجک با ترکیب دو حوزه زمان و فرکانس می تواند سیگنال را در هر دو حوزه تحلیل نماید. همچنین به دلیل سادگی محاسباتی، این روش در بسیاری از علوم مهندس مورد توجه قرار گرفت [۱۱ و ۱۲]. گرچه، عملکرد تبدیل موجک نیز خود به پارامترهای مهمی همچون نوع موجک، سطح تجزیه، روش آستانه گذاری و روش انتخاب حدود آستانه وابسته است. از میان این پارامترها، روش آستانه گذاری و انتخاب حدود آستانه، دو پارامتر کلیدی در میزان کارایی تبدیل موجک به شمار می روند. در سال های گذشته، تحقیقات فراوانی با تمرکز بر روی این دو پارامتر جهت بهبود عملکرد تبدیل موجک صورت گرفته است [۱۳ و ۱۴].

در ادامه این مقاله، ابتدا به صورت مختصر حمله فریب و روش های متداول شناسایی و مقابله با آن بررسی می شود. سپس در بخش سوم و چهارم به ترتیب، مفاهیم مرتبط با تبدیل موجک گسسته و روش بهینه سازی PSO^۹ شرح داده می شوند. در بخش پنجم، به معرفی روش پیشنهادی پرداخته می شود. بخش ششم، نتایج شبیه سازی روش پیشنهادی، روی داده های واقعی استخراج شده از گیرنده GPS ارائه می شوند و در بخش پایانی، نتیجه گیری بیان خواهد شد.

۲- مروری بر روش های مقابله با فریب

به منظور حل مشکل حمله فریب در سامانه GPS مطالعات گسترده ای انجام شده است [۱۵-۱۷]. به طور کلی، مقابله با حمله فریب در دو مرحله اساسی انجام می گیرد. در مرحله نخست می بایست حمله فریب شناسایی شود. به عبارتی دیگر، گیرنده می-

¹ Linear Low-Pass Filter

² Kalman Filter

³ Adaptive Filters

⁴ Neural Network

⁵ Median Filter

⁶ Wavelet Transform

⁷ Donoho

⁸ Johnstone

⁹ Particle Swarm Optimization

¹⁰ Carrier to Noise

¹¹ Signal to Noise Ratio

¹² Time of Arrival

¹³ Signal Quality Monitoring

¹⁴ Likelihood Function

افزایش دهیم و دیگر آن که اندازه پنجره در تمام حوزه زمان و فرکانس ثابت است. این در حالی است که برای برخی کاربردهای پردازش سیگنال، مجبور به بررسی دقیق تر سیگنال در محدوده خاصی می باشیم [۳۲].

در تبدیل موجک برای فائق آمدن بر مشکلات بیان شده از پنجره‌هایی با ابعاد متغیر استفاده شده است. بدین صورت می تواند هم زمان اطلاعات حوزه فرکانس و حوزه زمان را با دقت مطلوب استخراج کند.

تبدیل موجک به طور هم زمان دو عمل جابجایی و تغییر مقیاس را بر روی موجک پایه‌ای که موجک مادر نام دارد، اعمال می نماید. به عبارتی، در تبدیل موجک، موجک مادر با میزان کشیدگی و فشردگی متفاوت در طول سیگنال جابجا می شود. محاسبه میزان شباهت سیگنال با موجک مادر در هر موقعیت و برای مقیاس‌های متفاوت، مقدار ضرایب تبدیل موجک را نتیجه می دهد. بسته به این که جابجایی موجک مادر در طول سیگنال به صورت پیوسته یا گسسته انجام گیرد، تبدیل موجک به دو دسته‌ی تبدیل پیوسته و گسسته تقسیم می شود که در ادامه به اختصار شرح داده می شوند.

۱-۳- تبدیل موجک پیوسته

در تبدیل موجک برای به دست آوردن ضرایب موجک، تابع موجک مادر در طول سیگنال جابجا می شود و با عملگر کانولوشن^۶، میزان شباهت سیگنال با آن سطح از تابع سنجدیده می شود. اگر پله‌های جابجایی تابع موجک مادر به صورت پیوسته تغییر کند، تبدیل موجک پیوسته اجرا شده است. رابطه (۱) تبدیل موجک پیوسته را نشان می دهد [۳۱]:

$$T(a, b) = \frac{1}{\sqrt{a}} \int_{-\infty}^{+\infty} x(t) \psi^* \left(\frac{t-b}{a} \right) dt \quad (1)$$

که در آن، $x(t)$ سیگنال در حوزه زمان و ψ نماد موجک مادر است. پارامتر a نمایانگر سطح تبدیل یا میزان فراخشدگی موجک مادر را نشان می دهد. طبیعتاً هر چه عدد a بزرگ تر باشد، مؤلفه‌های فرکانس پایین تر به دست می آید و هر چه a کوچک تر باشد، مؤلفه‌های فرکانس بالاتر به دست می آید. پارامتر b نیز میزان جابجایی را نشان می دهد.

۳-۲- تبدیل موجک گسسته

از آنجاکه فرایند پردازش تبدیل موجک نسبتاً زمان بر و پیچیده است، در اغلب کاربردها، تبدیل گسسته به علت ساده تر بودن ترجیح داده می شود. همان طور که بیان شد، تبدیل موجک گسسته میزان جابجایی تابع موجک مادر در هر سطح، به صورت

اینرسی^۱ (IMU) [۲۵] و یا مقایسه اطلاعات دریافتی از گیرنده-های متفاوت [۲۶ و ۲۷] و آنتن‌های متعدد که به آن پردازش فضایی نیز گفته می شود [۲۸]، برای تشخیص و مقابله با حمله فریب استفاده می شود. البته این روش‌ها عمدتاً پیچیدگی نرم-افزاری یا سخت‌افزاری سامانه را افزایش می دهند. به همین دلیل، در بسیاری از کاربردها از روش‌های ساده‌تری همچون تخمین‌گر-ها استفاده می شود. به عنوان مثال، در مرجع [۲۹] برای گیرنده دو حالت عملکردی طراحی شده است. در شرایط عادی، گیرنده اطلاعات دریافتی خود را معتبر می داند و در حالت هوشیار^۲ اطلاعاتی را که از تخمین‌گر پیش‌بینی کننده خود دریافت می کند، برای مکان‌یابی به کار می گیرد و زمانی که علائم هشدار از بین رفت، اطلاعات قبلی خود را استفاده می نماید. تخمین‌گر موقعیت در این سامانه به کمک فیلتر کالمن^۳ و حسگرهای داخلی طراحی شده است. فیلتر کالمن در مقایسه با دیگر تخمین‌گرها می تواند تخمین دقیق تری را ارائه دهد.

دسته آخر روش‌های مقابله با فریب که در این قسمت مورد بررسی قرار گرفته است، روش‌های مبتنی بر نویززدایی موجک است. نویسندگان مرجع [۳۰] نشان دادند که سیگنال فریب موجب افزایش انفعالات شاخه Q^۴ در بخش اکتساب و ردیابی گیرنده GPS می شود و به کارگیری الگوریتم نویززدایی موجک را جهت کاهش اثرات فریب ارائه دادند.

اکنون در این مقاله، مقابله با فریب با روش نویززدایی موجک [۳۰] مبنای کار قرار گرفته شده است و تلاش شده است با به کارگیری بهینه‌سازی تکاملی پارامترهای کلیدی موجک به نحوی تعیین شود که منجر به افزایش قدرت نویززدایی و در نتیجه افزایش قدرت مقابله با فریب مذکور شود.

۳- تبدیل موجک

تبدیل موجک یکی از ابزارهای پرکاربرد حوزه پردازش سیگنال است که می تواند اطلاعات حوزه زمان و فرکانس را هم زمان استخراج نماید. در واقع، مشکل اساسی تبدیل فوریه که از دست رفتن اطلاعات حوزه زمان است [۳۱]، در این تبدیل وجود ندارد. قبل از ارائه موجک، تبدیل فوریه زمان کوتاه^۵ (STFT) برای بهبود مشکل بیان شده در تبدیل فوریه استاندارد ابداع شد. در این تبدیل از مفهومی به نام پنجره استفاده شد که در آن، سیگنال در محدوده زمانی خاصی از لحاظ فرکانسی بررسی می شود؛ اما STFT نیز محدودیت‌هایی دارد. اول این که به علت اصل عدم قطعیت، قادر نیستیم در یک پنجره دقت هر دو بعد را

^۱ Inertial Measurement Unit

^۲ Alert Mode

^۳ Kalman Filter

^۴ Quadrature Correlator Output

^۵ Short-Time Fourier Transform

^۶ Convolution

در قدم اول، سیگنال از میان فیلترهای بالاگذر و پایین گذر عبور می‌کند و بخش‌های تقریب و جزئیات را نتیجه می‌دهند. این فرایند به تعداد سطح تجزیه (N بار) تکرار می‌شود. در قدم بعدی برای تغییر ضرایب موجک در بخش جزئیات، حدود آستانه باید تعیین گردد. انتخاب مقادیر کم برای حدود آستانه موجب می‌شود اثرات نویز به خوبی حذف نشود و در صورتی که مقادیر بزرگی به آن اختصاص داده شود، ممکن است منجر به از دست رفتن اطلاعات سیگنال اصلی نیز بشود. در بسیاری از کاربردها، برای انتخاب این حدود آستانه از توابع ریاضی و آماری استفاده می‌شود؛ اما در روشی که در این مقاله ارائه می‌شود، این مقادیر از طریق الگوریتم بهینه‌سازی انتخاب می‌شوند. اکنون چگونگی محاسبه و انتخاب حدود آستانه در روش‌های معمول تشریح می‌شود.

پس از انتخاب سطوح آستانه، فرایند آستانه‌گذاری بر روی ضرایب موجک اعمال می‌شود. به‌طور کلی آستانه‌گذاری بر دو نوع است. آستانه‌گذاری سخت و نرم که معادلات آن‌ها به ترتیب در روابط **Error!** و **Error! Reference source not found.** و **Reference source not found.** بیان شده‌اند. در آستانه‌گذاری سخت داده‌هایی با مقدار کمتر از مقدار حد آستانه صفر شده و مقادیر بیشتر از حد آستانه بدون تغییر باقی می‌مانند [۳۴]:

$$w'_{j,k} = \begin{cases} w_{j,k} & |w_{j,k}| \geq t_j \\ 0 & |w_{j,k}| < t_j \end{cases} \quad (4)$$

که در آن، زیروند ز نشان‌گر سطح موجک اعمالی است. در آستانه‌گذاری نرم، علاوه بر صفر کردن داده‌های زیر سطح آستانه، داده‌های بالای سطح آستانه نیز به مقدار سطح آستانه کاهش داده می‌شوند [۳۴]:

$$w'_{j,k} = \begin{cases} \text{sgn}(w_{j,k})(|w_{j,k}| - t_j) & |w_{j,k}| \geq t_j \\ 0 & |w_{j,k}| < t_j \end{cases} \quad (5)$$

در کاربردهایی که همواری داده دارای اهمیت بیشتری است، از آستانه‌گذاری نرم استفاده می‌شود، درحالی‌که آستانه‌گذاری سخت برای آشکارسازی لبه‌ها در پردازش تصویر بهتر عمل می‌کند [۳۵]. در مرجع [۳۴] به‌منظور عملکرد بهتر آستانه‌گذاری نرم، روشی ارائه شد که آستانه‌گذاری وفقی نام دارد. در روش آستانه‌گذاری وفقی، ضرایب تبدیل موجک با توجه به اینکه در چه سطحی از تجزیه هستیم، تغییر می‌کند. به همین دلیل پارامتر z که نشان‌گر سطح تجزیه است، نیز در رابطه سطح آستانه دخیل شده است. رابطه دقیق آستانه‌گذاری وفقی مطابق رابطه (۶) است [۳۴]:

گسسته تغییر می‌کند. رابطه (۲) چگونگی محاسبه تبدیل موجک گسسته را نشان می‌دهد [۳۱]:

$$T_{m,n} = \int_{-\infty}^{+\infty} x(t) \frac{1}{a_0^2} \psi(a_0^{-m}t - nb_0) dt \quad (2)$$

عدد صحیح m نمایانگر سطح یا همان مقیاس تبدیل می‌باشد و b_0 میزان جابجایی است که با استفاده از پارامتر n گسسته-سازی شده است. مقدار a_0 در اغلب مسائل برای سادگی برابر با دو در نظر گرفته می‌شود. بدین ترتیب میزان جابجایی در هر سطح از رابطه (۳) به دست می‌آید [۳۱].

$$\Delta b = b_0 a_0^m \quad (3)$$

برای پیاده‌سازی تبدیل موجک گسسته در عمل، از بانک فیلتر استفاده می‌شود. بدین‌صورت که سیگنال اصلی از مجموعه-ای از فیلترهای بالاگذر و پایین‌گذر عبور داده می‌شود. به خروجی فیلتر بالاگذر و فیلتر پایین‌گذر، به ترتیب بخش تقریب و جزئیات گفته می‌شود. در هر بار گذر سیگنال از فیلتر فرایند نمونه‌برداری کاهش^۱ انجام می‌شود. همچنین، در فرایند تبدیل معکوس این روند به‌طور معکوس انجام می‌پذیرد که به آن نمونه‌برداری افزایشی^۲ گفته می‌شود [۳۲].

۳-۳- نوپززدایی به کمک تبدیل موجک

در نوپززدایی به کمک تبدیل موجک، هدف، تغییر ضرایب موجک به نحوی است که ضرایب مربوط به نویز از میان ضرایب سیگنال اصلی کاسته شود. یکی دیگر از ویژگی‌های قابل توجه تبدیل موجک، قابلیت متمرکز کردن اطلاعات سیگنال است. بدین معنا که پس از اعمال تبدیل موجک بر روی سیگنال، بخش اعظمی از انرژی سیگنال در محدوده خاصی متمرکز شده که شامل اطلاعات اصلی سیگنال است. به همین دلیل، انرژی مربوط به نویز موجود در سیگنال، در طیف وسیعی با دامنه کم توزیع می‌شود؛ بنابراین، می‌توان با اطمینان زیادی ادعا کرد که ضرایب نویز در بخش جزئیات سیگنال پخش شده و با حذف آن می‌توان بدون آن‌که به اطلاعات اصلی سیگنال آسیبی وارد شود، نویز را حذف نمود. به‌طور کلی می‌توان نوپززدایی را به سه مرحله تقسیم کرد [۳۳]:

مرحله ۱: تجزیه سیگنال به طول M در سطح N با انتخاب موجک مادر مناسب و اعمال تبدیل موجک.

مرحله ۲: انتخاب سطح آستانه مناسب و اعمال آستانه‌گذاری و تغییر ضرایب موجک.

مرحله ۳: بازسازی سیگنال به کمک تبدیل موجک معکوس.

¹ Down-sampling

² Up-sampling

• Minimaxi

مقدار سطح آستانه در این روش از رابطه (۱۰) محاسبه می‌گردد [۳۹]:

$$th_i = \begin{cases} \sigma \times (0.3936 + 0.10829 \times \log_2 N) & N > 32 \\ 0 & N < 32 \end{cases} \quad (10)$$

که در این رابطه، N و σ به ترتیب طول و انحراف از معیار سیگنال نویزی می‌باشند.

در مقاله مرجع [۴۰]، میزان تأثیر نویزدایی این چهار روش به کمک موجک مادر Haar با یکدیگر مقایسه شده است. مطابق نتایج گزارش شده، روش rigrsure عملکرد بهتری داشته است.

۴- الگوریتم هجوم ذرات

الگوریتم هجوم ذرات یا PSO یک روش یادگیری هوشمند بر مبنای محاسبات تکاملی است که ابتدا کندی^۳ و ابرهات^۴ آن را در ۱۹۹۵ در مرجع [۴۱] معرفی کردند. این الگوریتم از مفاهیم زیست‌شناسی و جامعه‌شناسی حیواناتی همچون پرندگان و ماهی‌ها جهت یافتن بهترین مسیر بهره می‌گیرد [۴۲]. تاکنون شواهد و آزمایش‌های تجربی گوناگونی کارایی این روش را در بهینه‌سازی اثبات کرده‌اند. به همین دلیل، در بسیاری از مسائل مهندسی که مرتبط با فرایند بهینه‌سازی هستند، این روش بسیار موردتوجه قرار گرفته است [۴۳ و ۴۴].

الگوریتم PSO برای حل مسئله، ابتدا جمعیتی از ذرات به تعداد N در فضای D بعدی به‌صورت تصادفی در فضای جستجوی مسئله تشکیل می‌دهد. میزان شایستگی نقاط انتخاب شده به‌وسیله تابع هزینه مسئله تعیین می‌شود که با توجه به نوع مسئله و هدف آن (بیشینه یا کمینه‌سازی)، تابع هزینه متفاوتی در نظر گرفته می‌شود. هدف الگوریتم PSO، جایجایی این ذرات به نحوی است تا مختصات نقطه بهینه یا اکسترمم مسئله یافت شود. به‌طور کلی، روش PSO شامل دو مدل از معادله سرعت و موقعیت این ذرات است [۴۱]:

$$V_i(t+1) = w * V_i(t) + c_1 r_1 (P_{best(i)}(t) - X_i(t)) + c_2 r_2 (G_{best}(t) - X_i(t)) \quad (11)$$

$$X_i(t+1) = X_i(t) + V_i(t+1) \quad (12)$$

روابط **Error! Reference source not found.** (۱۱) و **Error! Reference source not found.** (۱۲) به ترتیب روابط مربوط به به‌روزرسانی سرعت و موقعیت ذرات می‌باشند که در آن C_1 و C_2 دو ثابت شتاب هستند و معمولاً برابر با مقدار ۲ در نظر

$$w'_{j,k} = \begin{cases} sgn(w_{j,k}) \left(|w_{j,k}| - \frac{t_j}{(|w_{j,k}|^2 - t_j^2)^j + 1} \right) & |w_{j,k}| \geq t_j \\ 0 & |w_{j,k}| < t_j \end{cases} \quad (6)$$

پس از اعمال آستانه‌گذاری، در مرحله بازسازی، ضرایب موجک که تغییر یافته‌اند به‌وسیله تبدیل موجک معکوس سرهم-بندی می‌شوند. در صورت انتخاب درست سطح آستانه، سیگنال بازسازی‌شده حامل نویز کمتری خواهد بود.

در ادامه چهار روش آستانه‌گذاری متداول با نام‌های: (۱) Sqrtwolog، (۲) Rigrsure، (۳) Heursure و (۴) Minimaxi که در این مقاله جهت مقایسه نتایج مورد استفاده قرار گرفته است، شرح داده می‌شوند.

• Sqrtwolog

این روش ابتدا توسط دونوو و جانستون [۳۶] ارائه شد که در آن مقدار سطح آستانه از طریق رابطه (۷) محاسبه می‌شود [۳۷]:

$$th_i = \sigma_j \sqrt{2 \log(N_j)} \quad (7)$$

که در آن، N_j طول سیگنال نویزی و σ_j میانگین انحراف مطلق^۱ است و از طریق رابطه (۸) محاسبه می‌شود [۲۶]:

$$th_i = \sigma_j \sqrt{2 \log(N_j)} \square \sigma_j = \frac{MAD_j}{0.6745} = \frac{\text{median}(|\omega|)}{0.6745} \quad (8)$$

که در آن، ω نشان‌دهنده ضرایب موجک در سطح Z ام است.

• Rigrsure

در این روش، مقدار سطح آستانه از رابطه (۹) به دست می‌آید [۲۶]:

$$th_i = \sigma_j \sqrt{\omega_b} \quad (9)$$

که در آن، ω_b از مجذور ضرایب موجک محاسبه شده و ریسک حداقل^۲ نام دارد و σ_j برابر با میزان انحراف از معیار سیگنال نویزی است.

• Heursure

این روش، تلفیقی از دو روش پیشین است. در حالت عادی و در صورتی که سیگنال نویزی SNR نسبتاً زیادی داشته باشد، از روش Rigrsure برای تخمین سطح آستانه استفاده می‌شود؛ اما از آنجاکه روش Rigrsure برای سیگنال‌های با SNR کم، عملکرد ضعیفی دارد [۳۸]، در این موارد روش Sqrtwolog جایگزین آن می‌شود.

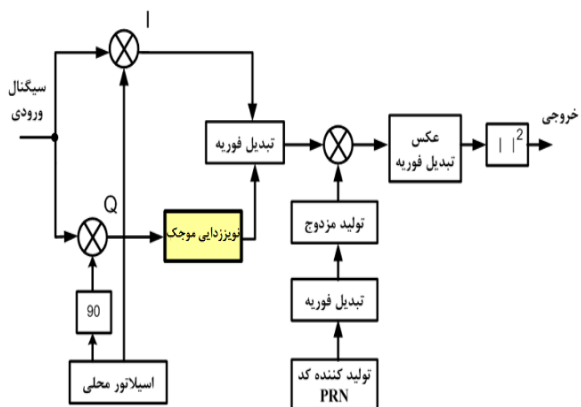
³ James Kennedy

⁴ Russell Eberhart

¹ Mean Absolute Deviation (MAD)

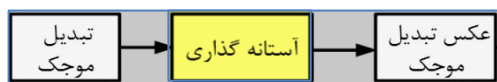
² Minimal risk

موجک در شکل (۱) آمده است. در اینجا اکتساب با روش جست‌وجوی فاز کد موازی انجام می‌پذیرد که پس از استخراج سیگنال‌های همبسته‌ساز، واحد نویززدایی روی سیگنال شاخه Q اعمال می‌شود.



شکل (۱). بلوک دیاگرام الگوریتم کاهش فریب با به‌کارگیری نویززدایی در واحد اکتساب

همان‌طور که در بخش (۳-۳) شرح داده شد، نویززدایی موجک دارای سه گام اساسی: (۱) تبدیل موجک، (۲) آستانه‌گذاری و (۳) عکس تبدیل موجک می‌باشد که در شکل (۲) نمایش داده شده است.



شکل (۲). مراحل نویززدایی موجک

اکنون روش پیشنهادی این مقاله جهت ارتقای نویززدایی موجک بر روی مرحله آستانه‌گذاری تمرکز دارد.

در روش پیشنهادی این مقاله، سطوح آستانه در تبدیل موجک با کمک بهینه‌سازی تکاملی به‌گونه‌ای انتخاب می‌شوند که عملکرد تبدیل موجک را نسبت به روش‌های نویززدایی متداول بهبود بخشد. در بسیاری از کاربردها، مقادیر سطوح آستانه با استفاده از توابع آماری متداولی همچون Minimaxi و Rigrsure انتخاب می‌شوند؛ اما در روش پیشنهادی این مقاله، انتخاب این سطوح آستانه بر عهده تابع بهینه‌سازی PSO قرار گرفته است. همان‌طور که پیش‌تر بیان شد، الگوریتم PSO برای بهینه‌سازی مسئله‌ای با تابع هزینه مشخص در فضای D بعدی استفاده می‌شود.

در بسیاری از کاربردهای پردازش سیگنال و نویززدایی، SNR به‌عنوان یکی از پرکاربردترین مشخصه‌های صحت سنجی الگوریتم نویززدایی مورداستفاده قرار می‌گیرد. مقدار این نسبت، از تقسیم میزان توان سیگنال به توان نویز محاسبه می‌شود. رابطه

گرفته می‌شوند. مقادیر r_1 و r_2 نیز اعداد تصادفی هستند که در بازه $[0, 1]$ انتخاب می‌شوند. G_{best} و $P_{best}(t)$ ، به ترتیب مدلی از بهترین تجربه هر ذره و بهترین تجربه کل جمعیت است. این مقادیر در هر دوره از اجرای الگوریتم به‌روزرسانی می‌شوند. مقدار w نیز لختی حرکت را مدل‌سازی می‌نماید که در بعضی کاربردها برابر ۱ قرار داده می‌شود، ولی در مرجع [۴۵] روشی ارائه شد که مقادیر این وزن با نزدیک شدن الگوریتم به جواب بهینه، کاهش می‌یابد. برای محاسبه این مقدار در هر دوره، از رابطه (۱۳) استفاده می‌شود [۴۱]:

$$w(t+1) = w(t) * u^{-t} \quad (13)$$

که در آن، مقدار u می‌تواند در بازه $[1, 0.001, 1, 0.005]$ قرار گیرد. مزیت این روش در این است که سرعت ذرات با نزدیک به شدن به جواب کاهش می‌یابد و مانع از پراکنده شدن آن‌ها یا ناپایداری شود و به همین دلیل مسئله، همگرایی سریع‌تری دارد. همچنین، این روش به‌راحتی در نقاط اکسترمم محلی متوقف نشده و از آن‌ها عبور می‌کند.

۵- روش تلفیقی پیشنهادی

در این بخش از مقاله، روشی جدید برای نویززدایی سیگنال GPS در شاخه همبستگی Q واحد اکتساب به‌منظور مقابله با حمله فریب پیشنهاد می‌شود. همان‌طور که پیش‌تر اشاره شد، تبدیل موجک ابزاری مناسب برای کاهش نویز در سیگنال‌های غیرایستا، همچون سیگنال GPS است [۴۶ و ۴۷]. در روش پیشنهاد شده در این مقاله، از الگوریتم بهینه‌سازی PSO به جهت بهبود عملکرد تبدیل موجک استفاده می‌شود. سپس تبدیل موجک ارتقا یافته، مطابق روشی که در مرجع [۳۰] برای مقابله با فریب ارائه شده، به کار گرفته می‌شود. نویسندگان در مرجع [۳۰] نشان دادند که حمله فریب موجب افزایش فعل‌وانفعالات نویز ماندنی در شاخه همبستگی Q گیرنده GPS خواهد شد. آنان در [۳۰] با به‌کارگیری الگوریتم نویززدایی موجک در بخش اکتساب گیرنده GPS، فعل‌وانفعالاتی را که به دلیل حضور سیگنال فریب بر روی این بازو ایجاد شده بود را کاهش دادند و از این طریق به مقابله با حمله فریب پرداختند. تفاوت اصلی روش پیشنهادی در این مقاله با مرجع [۳۰] در ارائه و به‌کارگیری تبدیل موجک ارتقا یافته جهت کاهش اثرات نویز ماندنی ناشی از حضور سیگنال فریب، در شاخه Q بخش اکتساب گیرنده GPS است.

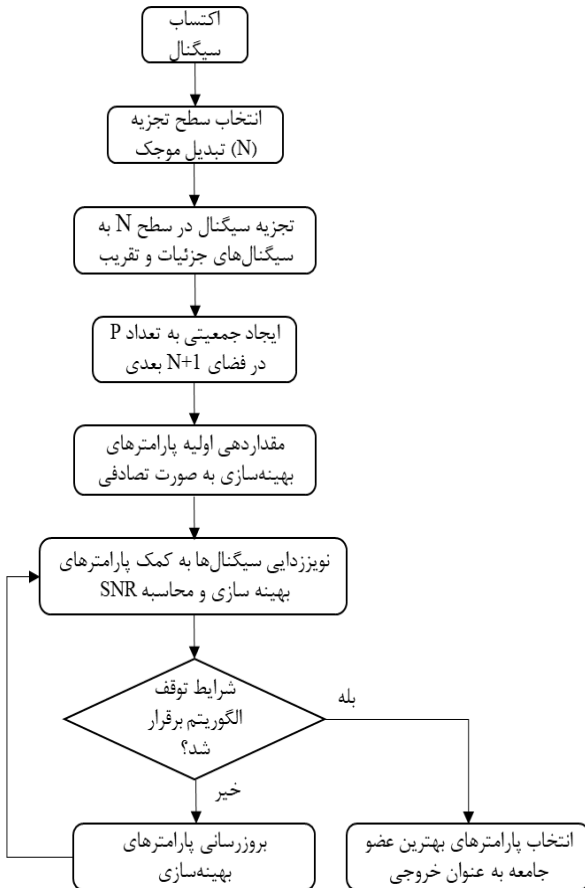
بلوک دیاگرام کلی روش کاهش فریب مبتنی بر نویززدایی

(۱۴) چگونگی محاسبه این پارامتر را نشان می دهد [۳۴]:

$$w'_{j,k} = \begin{cases} \text{sgn}(w_{j,k}) \left(|w_{j,k}| - \frac{t_j}{(|w_{j,k}|^2 - t_j^2)^{j \times d} + 1} \right) & |w_{j,k}| \geq t_j \\ 0 & |w_{j,k}| < t_j \end{cases} \quad (۱۵)$$

$$SNR = 10 \times \log\left(\frac{Power_{signal}}{Power_{noise}}\right) \quad (۱۴)$$

به طور خلاصه می توان روش نوپزدایی تلفیقی را در فلوجارت شکل (۳) مشاهده کرد.



شکل (۳). فلوجارت روش پیشنهادی

به طور کلی می توان فرایند مقابله با فریب را در سه مرحله زیر خلاصه نمود:

قدم اول: تجزیه و نوپزدایی سیگنال در شاخه همبستگی Q با استفاده از سطوح آستانه به دست آمده توسط الگوریتم PSO.

قدم دوم: استفاده از نتایج همبستگی Q نوپزدایی شده در فرایند اکتساب و شناسایی ماهواره ها.

قدم سوم: بررسی میزان شایستگی توسط تابع هزینه تعریف شده و به روزرسانی پارامترهای الگوریتم PSO و اجرای دوباره آن.

۶- صحت سنجی نتایج شبیه سازی

به منظور صحت سنجی روش پیشنهادی، ابتدا این روش در نوپزدایی چهار سیگنال معیار به کار گرفته شده و میزان کارایی آن با روش نوپزدایی بر مبنی تبدیل موجک معمولی مقایسه

به منظور ارزیابی روش پیشنهادی، ابتدا عملکرد الگوریتم در کاهش نویز در چهار سیگنال معیار بلوک ها^۱، برجستگی^۲، سینوسی سنگین^۳ و داپلر^۴ سنجیده شده و سپس با روش های نوپزدایی Rigrsure، Heursure، Sqrtwolog، Minimaxi مقایسه می شود که در این قسمت، SNR به عنوان تابع هزینه در نظر گرفته شد. نتایج حاصل شده از این مقایسه، در بخش ۶-۱ شرح داده شده است.

از آنجا که هدف نهایی این مقاله، دفع حمله فریب است، الگوریتم پیشنهادی بر روی سیگنال های واقعی GPS نیز اعمال شد. در این بخش تابع هزینه به گونه ای طراحی شده تا میزان عملکرد سامانه در بخش اکتساب بهبود یابد. به همین دلیل، تعداد ماهواره های معتبر شناسایی شده در فرایند اکتساب به عنوان تابع هزینه در نظر گرفته شد. به گونه ای که به ازای هر ماهواره ای که به صورت صحیح تشخیص داده شود، الگوریتم امتیازی مثبت دریافت و در صورتی که در تشخیص ماهواره دچار خطا شود، امتیاز منفی دریافت نماید.

فضای مسئله مطرح شده در این مقاله شامل پنج پارامتر بهینه سازی می باشد که چهار مورد از آن ها مربوط به انتخاب حد آستانه و یک مورد در ارتباط با فرایند آستانه گذاری است. در این مقاله، برای نوپزدایی سیگنال در شاخه همبستگی Q، از موجک هار با تجزیه چهار سطحی استفاده می شود و لذا برای هر یک از سطوح، به یک سطح آستانه نیاز است. همچنین، در این روش پارامتر دیگری نیز به جهت افزایش درجه آزادی مسئله به فرایند بهینه سازی افزوده شده است. این پارامتر در واقع ضریبی است که سعی در بهینه سازی فرایند آستانه گذاری دارد. این ضریب به عنوان پارامتر b در رابطه (۶) وارد شده و شیب آستانه گذاری وفقی را کنترل می کند. در نتیجه رابطه دقیق آستانه گذاری در اینجا مطابق رابطه (۱۵) است:

¹ Blocks
² Bumps
³ Heavy Sine
⁴ Doppler

مقایسه می‌شود. در تمامی این مراحل، شبیه‌سازی در نرم‌افزار MATLAB اجرا شده‌اند.

می‌شود. سپس روش پیشنهادی در مسئله مقابله با حمله فریب با اعمال بر روی داده‌های واقعی GPS که فریب به آن‌ها اضافه شده تحلیل و بررسی می‌گردد و کارایی آن با روش مرجع [۳۰]

جدول (۲). نتایج به‌کارگیری الگوریتم پیشنهادی بر بهبود SNR در توابع معیار

تابع معیار	SNR	Rigrsure	Sqtwolog	Heursure	Minimaxi	روش تلفیقی	میانگین بهبود (%) SNR
بلوک‌ها	۲	۱۸۶۵/۱۰	۵۳۴۷/۱۱	۱۸۶۵/۱۰	۵۴۹۹/۱۱	۱۵۸۲۲۱	۲۰/۴۶
	۵	۵۱۳۵/۱۲	۷۹۳۳/۱۱	۵۱۳۵/۱۲	۰۲۷۱/۱۲	۴۶۶۱/۱۸	۳۱/۵۱
	۱۰	۰۴۱۳/۱۴	۰۳۷۳/۹	۰۴۱۳/۱۴	۷۹۷۵/۱۱	۰۳۷۰/۱۶	۴۵/۳۵
برجستگی	۲	۸۲۲۱/۷	۱۹۵۹/۸	۸۲۲۱/۷	۱۱۹۵/۸	۴۳۰۵/۱۱	۱۲/۴۳
	۵	۰۴۹۰/۱۲	۸۹۲۸/۸	۰۴۹۰/۱۲	۹۱۴۲/۹	۷۴۹/۱۴	۸۶/۳۹
	۱۰	۱۳۹۴/۱۴	۸۷۶۴/۸	۱۳۹۴/۱۴	۹۳۸۲/۱۱	۶۳۰۲/۱۶	۴۷/۴۰
سینوسی سنگین	۲	۳۹۳۵/۷	۵۵۸۴/۱۴	۳۹۳۵/۷	۹۱۲۸/۱۳	۳۲۱۳/۱۴	۱۴/۴۷
	۵	۹۳۸۳/۹	۸۱۲/۱۷	۹۳۸۳/۹	۸۱۲/۱۷	۷۵۴۷/۱۷	۱۶/۳۹
	۱۰	۵۸۰۳/۱۲	۸۶۳۲/۱۹	۵۸۰۳/۱۲	۸۳۶۱/۱۹	۸۳۰۲/۱۹	۷۶/۲۸
داپلر	۲	۵۰۰۹/۶	۲۹۳۸/۹	۵۰۰۹/۶	۰۳۶۸/۹	۱۶۶۶/۱۱	۸۱/۴۶
	۵	۲۳۶۹/۹	۹۵۰۷/۹	۲۳۶۹/۹	۹۵۱۳/۹	۸۴۶۸/۱۲	۰۹/۳۴
	۱۰	۸۸۱/۱۲	۷۰۰۴/۱۰	۸۸۱/۱۲	۶۹۲۶/۱۰	۰۳۱۶/۱۶	۱۶/۳۷

یکی از عوامل مهم در اثربخشی روش پیشنهادی، پارامترهای انتخاب شده برای الگوریتم بهینه‌سازی PSO است که در این بخش از شبیه‌سازی‌ها، مطابق جدول (۱) انتخاب شدند.

جدول (۱). مقادیر پارامترهای الگوریتم PSO در الگوریتم پیشنهادی

پارامتر	مقدار
تعداد جمعیت	۴۰
تعداد دفعات تکرار	۸۰
C_1	۲
C_2	۲
u^{-1}	۹۸/۰

در مقایسه با روش‌های متداول بیان‌شده، مشاهده شد که الگوریتم تلفیقی پیشنهادی می‌تواند میزان SNR را به‌طور میانگین ۴۷/۳ درصد بهبود دهد. جزئیات مقایسه عملکرد الگوریتم تلفیقی با دیگر روش‌ها در جدول (۲) بیان شده است.

هر سطر از جدول (۲) شامل مقادیر SNR سیگنال‌های معیار است که نام هر یک در ستون سمت راست بیان شده است. با توجه به جدول (۲) می‌توان مشاهده کرد که الگوریتم پیشنهادی به‌طور کلی عملکرد بهتری نسبت به روش‌های دیگر داشته و حتی در مواردی همچون تابع نویزی سینوسی سنگین با میزان سیگنال به نویز ۲ را توانسته تا میزان SNR تقریباً دو برابر ارتقا دهد. جدول (۲) نشان می‌دهد که روش پیشنهادی قادر است به‌خوبی میزان SNR را بهبود دهد.

۶-۲- تولید داده فریب

شکل (۴) نحوه جمع‌آوری داده‌های موردنیاز را نشان می‌دهد.

۶-۱- نتیجه الگوریتم نویزدایی بر روی سیگنال‌های معیار

در این بخش نتایج الگوریتم نویزدایی تلفیقی که در بخش پیشین معرفی شد، بر روی چهار سیگنال معیار^۱ اعمال شده و نتایج آن‌ها ارائه می‌شود.

سیگنال‌های معیار انتخاب شده عبارت‌اند از: ۱- بلوک‌ها، ۲- برجستگی، ۳- سینوسی سنگین و ۴- داپلر. این سیگنال‌ها، در سه سطح مختلف با نویز سفید گوسی ترکیب شده و سیگنال‌هایی با SNR دارای مقادیر ۲، ۵ و ۱۰ ایجاد کرده و سپس به‌عنوان داده آزمایشی به الگوریتم نویزدایی اعمال می‌شوند. این چهار سیگنال به‌طور خاص در مراجع مختلف، جهت بررسی میزان عملکرد روش‌های نویزدایی مورد استفاده قرار گرفته‌اند [۴۸ و ۴۹]. سیگنال‌ها توسط نرم‌افزار MATLAB جهت مقایسه نتایج نویزدایی تبدیل موجک تولید می‌شوند. به همین جهت، در تمامی موارد، طول سیگنال (N) به‌صورت توانی از ۲ در نظر گرفته می‌شود تا فرایند تجزیه در تبدیل موجک به‌سادگی صورت گیرد. در این شبیه‌سازی، طول سیگنال‌ها به‌صورت یکسان و برابر با ۱۰۲۴ نمونه انتخاب شده‌اند.

همان‌طور که پیش‌تر اشاره شد، جهت مقایسه، میزان کاهش نویز در سیگنال‌های معیار، توسط روش‌های متداول انتخاب سطوح آستانه موردبررسی قرار گرفت. در این مقاله به‌طور خاص، روش‌های متداول با نام‌های ۱- Rigrsure، ۲- Heursure، ۳- Sqtwolog و ۴- Minimaxi مورد استفاده قرار گرفته‌اند [۵۰، ۳۴ و ۵۱].

^۱ Benchmark

بالانویس و زیرنویس A و D به ترتیب بیان گر سیگنال معتبر و تأخیر یافته می باشند. Δt_D و ϕ_{L1}^D نیز به ترتیب میزان تأخیر کد و اختلاف فاز سیگنال تأخیر یافته نسبت به سیگنال معتبر را بیان می کنند.

در رابطه (۱۷)، زیروندهای A و D به ترتیب نشان دهنده بخش های اصلی و تأخیر یافته سیگنال می باشند. در نهایت، خروجی ADC (سیگنال IF) ذخیره می شود و توسط گیرنده نرم افزاری GPS مبتنی بر MATLAB پردازش شده و اطلاعات ناوبری استخراج می شود.

۳-۶- نتایج الگوریتم ضد فریب

الگوریتم پیشنهادی بر روی تعداد زیادی از سیگنال های واقعی GPS اعمال شد که در این بخش، به منظور تشریح عملکرد الگوریتم پیشنهادی، نتایج حاصل از یک مورد از آن ها گزارش می شود. مطابق روالی که در بخش پیشین معرفی شد، الگوریتم پیشنهادی بر روی شاخه همبستگی Q در بخش اکتساب به کار گرفته شد که تأثیر به کارگیری این الگوریتم بر نتایج اکتساب و نیز تأثیر آن بر مقادیر خطای موقعیت یابی در بخش ناوبری، ارائه می شود.

به منظور صحت سنجی دقیق تر، نتایج بخش اکتساب در چهار حالت متفاوت مورد بررسی قرار گرفت:

۱- گیرنده تحت هیچ گونه حمله ای نبوده و داده معتبر دریافت می کند.

۲- گیرنده تحت حمله فریب قرار می گیرد.

۳- گیرنده تحت حمله فریب قرار دارد و مقابله با فریب بر مبنی تبدیل موجک معمول صورت می پذیرد که در آن حدود آستانه با استفاده از روش های متداول انتخاب شده اند.

۴- گیرنده تحت حمله فریب قرار دارد و مقابله با فریب بر مبنی تبدیل موجک ارتقا یافته صورت می پذیرد که در آن حدود آستانه با استفاده از الگوریتم PSO انتخاب شده اند.

مشابه بخش قبلی، در این مرحله از شبیه سازی نیز پارامترهای الگوریتم PSO به صورت مقادیر مشخصی تنظیم شدند که در جدول (۳) بیان شده اند.

جدول (۳). مقادیر پارامترهای الگوریتم PSO در الگوریتم ضد فریب

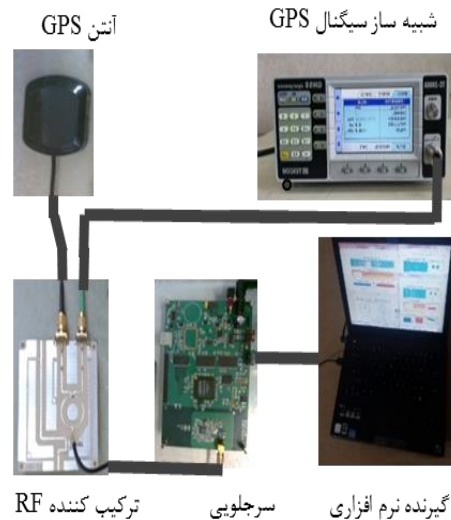
مقدار	پارامتر
۴۰	تعداد جمعیت
۴۰	تعداد دفعات تکرار
۲	C ₁

همان طور که ملاحظه می شود، سیگنال GPS توسط آنتن GPS دریافت می شود. مدل ریاضی سیگنال دریافتی توسط گیرنده GPS در فرکانس L₁ را می توان مطابق رابطه (۱۶) نوشت [۱۵]:

$$S_{L1CA}(t) = A_c C_i(t) D_i(t) \sin(\omega_{L1}(t) + \phi_{L1}) \quad (16)$$

در این رابطه، A_c دامنه کد C/A و C_i کد C/A برای i امین ماهواره می باشند. D_i پیام ناوبری i امین ماهواره، ω_{L1} فرکانس زاویه ای سیگنال L1 و ϕ_{L1} فاز اولیه سیگنال L1 است.

سپس سیگنال اصلی با سیگنال فریب در یک ترکیب کننده ترکیب می شود. سیگنال فریب از نظر ساختاری کاملاً مشابه با سیگنال اصلی GPS می باشد و در شبیه ساز سیگنال GPS تولید شده است. پس از ترکیب سیگنال اصلی و فریب، سیگنال ترکیبی در قسمت سر جلوبی^۱ موجود پردازش شده و به مبدل آنالوگ به دیجیتال^۲ (ADC) منتقل می شود.



شکل (۴). نحوه تولید سیگنال فریب و جمع آوری داده ها

از نظر ریاضی، سیگنال فریب با تأخیر یافته سیگنال اصلی که دارای دامنه متفاوت است، مدل می شود. پس از افزودن سیگنال تأخیر یافته به سیگنال اصلی و ساخت فریب، مدل ریاضی سیگنال دریافتی توسط ADC را می توان مطابق رابطه (۱۷) نوشت [۱۵]:

$$C_{L1CA}(t) = A_c^A C_i^A(t) D_i^A(t) \sin(\omega_{L1}(t) + \phi_{L1}^A) + A_c^P C_i^P(t) D_i^P(t) \sin(\omega_{L1}(t) - \Delta t_D) + \phi_{L1}^P \quad (17)$$

¹ Front-End

² Analog to Digital Converter

طی فرایند اکتساب به‌عنوان ماهواره در دید شناسایی شدند. در این حالت، شش ماهواره قابل‌رؤیت هستند. به‌طور مشابه، شکل‌های (۶)، (۷) و (۸) نیز نتیجه بخش اکتساب را برای حالات بیان شده نشان می‌دهند.

۲	C ₂
۹۸/۰	u ⁻¹

شکل (۵) نتایج بخش اکتساب گیرنده را در حالت عادی و بدون حمله فریب نشان می‌دهد. در این شکل، ستون‌های سبزرنگ نشان‌گر ماهواره‌هایی هستند که در

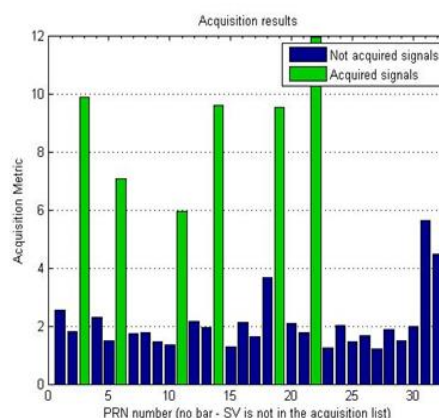
جدول (۴). نتایج به‌کارگیری الگوریتم ضدفریب پیشنهادی در کاهش خطای مکان‌یابی ناشی از حمله فریب

شرایط گیرنده	مکان‌یابی در حالت بدون فریب (m)	اعمال الگوریتم ضدفریب با استفاده از نویزدایی معمول موجک [۳۰]	اعمال الگوریتم ضدفریب با استفاده از نویزدایی پیشنهادی با به‌کارگیری الگوریتم PSO	درصد بهبود روش پیشنهادی
مؤلفه x موقعیت	۹۴/۳۲۳۴۹۱۹	۸۹/۳۲۳۴۹۴۳	۹۶/۳۲۳۴۹۱۴	۲۰/۷۹
مؤلفه y موقعیت	۹۴/۴۰۵۳۰۲۴	۷۴/۴۰۵۳۰۵۷	۷۳/۴۰۵۳۰۲۵	۵۹/۹۷
مؤلفه z موقعیت	۸۸/۳۷۰۳۴۶۵	۹۸/۳۷۰۳۴۷۹	۴۳/۳۷۰۳۴۶۱	۴۳/۶۸
خطای کل مکان‌یابی	-	۶۳/۳۹	۶۷/۲۴	۷۴/۳۷

جدول (۵). مقایسه کیفی روش پیشنهادی با سایر روش‌ها

روش کار	محدودیت	مزیت	تجهیزات موردنیاز	محل اعمال الگوریتم	آشکارسازی	مقابله
تلفیق با ناوبری مبتنی بر IMU [۲۵]	کارایی ضعیف در حملات فریب طولانی‌مدت (با نرخ کند تغییرات)	تشخیص آسان	ارتقای نرم‌افزاری و سخت‌افزاری	واحد ناوبری	بلی	بلی
نظارت بر توان [۱۸]	محدوده بزرگ عدم کارایی	تشخیص آسان و پیچیدگی کم	ارتقای نرم‌افزاری و سخت‌افزاری	بخش سرچلویی گیرنده	بلی	خیر
نظارت بر همبستگی [۲۴-۲۰]	کارایی ضعیف در حضور چندمسیری	تشخیص آسان	ارتقای نرم‌افزاری	شاخه‌های همبسته‌ساز	بلی	خیر
پردازش فضایی [۲۸]	عدم کارایی در حملات پیچیده	قابلیت اطمینان بالا	ارتقای نرم‌افزاری و سخت‌افزاری	بخش سرچلویی گیرنده	بلی	بلی
نظارت بر زمان ورود [۱۹]	تشخیص پس از تسلط فریب‌نده و قابلیت پیش‌بینی بیت‌ها توسط فریب‌نده	تشخیص آسان	ارتقای نرم‌افزاری	واحد ناوبری	بلی	خیر
روش پیشنهادی	عدم کارایی در حملات اعمال شده در واحد ردیابی	پیاده‌سازی آسان	ارتقای نرم‌افزاری	واحد اکتساب	خیر	بلی

کانال‌های جعلی شناسایی می‌شوند. مطابق شکل (۶)، ماهواره شماره ۱۱ به‌طورکلی حذف شده است. پس از اعمال الگوریتم ضدفریب که بخش نویزدایی آن با روش‌های متداول انجام شده است، اکتساب بهبود چندانی نداشته و مشاهده می‌شود که ماهواره ۱۴ حذف شده و کانال غیرمعتبر شماره ۱۸ نیز اشتباهاً شناسایی شده است (مطابق شکل ۷).



شکل (۵). نتیجه بخش اکتساب برای گیرنده در حالت بدون فریب

در صورتی که گیرنده تحت حمله فریب قرار گیرد، فرایند اکتساب دچار اختلال شده و تعدادی از کانال‌های ماهواره حذف شده و یا

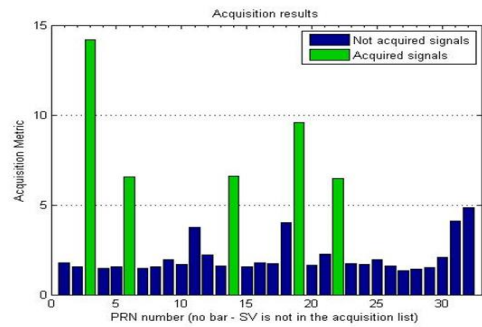
جهت نویززدایی، گیرنده خطای بیشتری را متحمل می‌شود و با به‌کارگیری روش پیشنهادی دقت نهایی مکان‌یابی ۳۷/۷۴ درصد بهبود دارد. به‌منظور صحت‌سنجی بیشتر، روش پیشنهادی با دیگر روش‌های معمول در حوزه‌ی آشکارسازی و مقابله با فریب مورد مقایسه کیفی قرار گرفت که نتایج آن در جدول (۵) ملاحظه می‌شود.

۷- نتیجه‌گیری

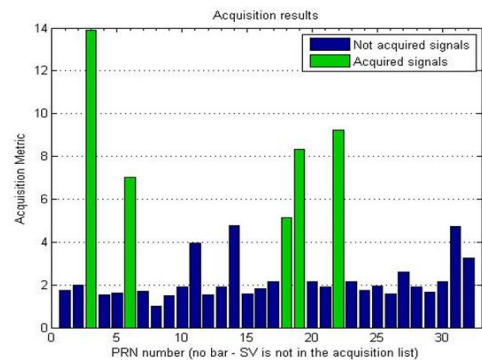
در این پژوهش، روش جدیدی برای کاهش اثر مخرب اختلال فریب در سامانه‌ی GPS پیشنهاد شد. در این روش، ابتدا به کمک الگوریتم بهینه‌سازی PSO مقادیر حدود آستانه تبدیل موجک گسسته به‌صورت بهینه تنظیم شد و از این طریق میزان عملکرد این تبدیل در فرایند کاهش نویز، بهبود قابل توجهی حاصل شد. میزان SNR سیگنال‌های معیار پس از اعمال روش پیشنهاد شده، در مقایسه با نویززدایی از طریق روش‌های آستانه‌گذاری Rigsure، Heursure، Sqrtwolog و Minimaxi به ترتیب ۴۷/۳، ۳۸/۴، ۴۷/۳ و ۳۰ درصد بهبود یافت. پس‌از آن که از عملکرد روش پیشنهادی در کاهش نویز اطمینان حاصل شد، این الگوریتم به‌منظور کاهش تأثیر نویزگونه سیگنال فریب روی شاخه همبستگی Q در بخش اکتساب گیرنده GPS به کار گرفته شد. روش پیشنهادی روی داده‌های واقعی سیگنال GPS دارای اختلال فریب، اعمال شد. نتایج حاصله، کاهش ۳۷/۷۴ درصدی خطای موقعیت‌یابی ناشی از فریب را در مقایسه با الگوریتم‌های معمول نشان داد.

۶- مراجع

- [1] M. R. Mosavi, "Data processing on single-frequency GPS receivers," Iran University of Science and Technology, 2010. (in Persian)
- [2] M. Moazedi, M. Mosavi, Z. Nasrpooya, & A. Sadr, "GPS spoofing mitigation using adaptive estimator in tracking loop," *Journal of Electronical & Cyber Defence*, vol. 6, no. 3, 2018. (in Persian)
- [3] H. N. Li, D. S. Li, & G. B. Song, "Recent applications of fiber optic sensors to health monitoring in civil engineering," *Engineering Structure*, vol. 26, no. 11, pp.1647-1657, 2004.
- [4] D. Ahn, J. Park, C. Kim, J. Kim, Y. Qian & T. Itoh, "A design of the low-pass filter using the novel microstrip defected ground structure," *IEEE Transactions on Microwave Theory and Techniques*, vol. 49, no. 1, pp. 86-93, 2001.
- [5] B. Baykal & A. G. Constantinides, "A neural approach to the underdetermined-order recursive least-squares adaptive filtering," *Neural Networks*, vol. 10, no. 8, pp. 1523-1531, 1997.



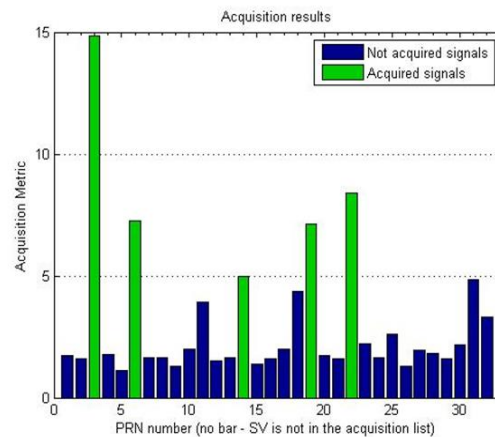
شکل (۶). نتیجه بخش اکتساب برای گیرنده تحت حمله فریب



شکل (۷). نتیجه بخش اکتساب برای گیرنده تحت حمله فریب و

اعمال الگوریتم ضد فریب نویززدایی متداول در شاخه همبستگی Q

حال اگر الگوریتم نویززدایی با کمک الگوریتم PSO اعمال شود، نتایج متفاوتی را شاهد خواهیم بود. شکل (۸) نتیجه بخش اکتساب را در این حالت نشان می‌دهد. مطابق شکل (۷) در اینجا برخلاف حالت قبل هیچ کانال غیرمعتبری در فرایند اکتساب وارد نشده است.



شکل (۸). نتیجه بخش اکتساب برای گیرنده تحت حمله فریب و

اعمال الگوریتم ضد فریب نویززدایی ارتقایافته توسط بهینه‌سازی PSO

در شاخه همبستگی Q

در نهایت برای سنجش و مقایسه میزان عملکرد الگوریتم ضد فریب پیشنهادی، مقادیر خطای ناوبری و موقعیت جغرافیایی محاسبه شد و در جدول (۴) گزارش می‌شود. مطابق این جدول، مشاهده می‌شود که در صورت استفاده از الگوریتم معمول موجک

- [21] A. M. Khan & A. Attiq, "Global navigation satellite systems spoofing detection through measured autocorrelation function shape distortion," *International Journal of Satellite Communications and Networking*, vol. 40, no. 2, pp. 148-156, 2022.
- [22] W. Zhou, Z. Lv, X. Deng & Y. Ke, "A new induced GNSS spoofing detection method based on weighted second-order central moment," *IEEE Sensors Journal*, vol. 22, no. 12, pp. 12064-12078, 2022.
- [23] J.N. Gross, C. Kilic, & T.E. Humphreys, "Maximum-likelihood power-distortion monitoring for GNSS-signal authentication," *IEEE Transactions on Aerospace and Electronic Systems*, vol. 55, pp. 469-475, 2019.
- [24] Y. Guo, L. Miao, & X. Zhang, "Spoofing detection and mitigation in a multi-correlator GPS receiver based on the maximum likelihood principle," *Sensors*, vol. 19, no. 1, 2019.
- [25] Y. Liu, S. Li, Q. Fu, Z. Liu, & Q. Zhou, "Analysis of kalman filter innovation-based GNSS spoofing detection method for INS/GNSS integrated navigation system," *IEEE Sensors Journal*, vol. 19, no. 13, pp. 5167-5178, 2019.
- [26] N. Stenberg, E. Axell, J. Rantakokko, & G. Hendeby, "Results on GNSS spoofing mitigation using multiple receivers," *Journal of the Institute of Navigation*, vol. 69, no. 1, pp. 1-29, 2022.
- [27] B. Pardhasaradhi, G. Srinath, G. S. Vandana, P. Srihari, & P. Aparna, "GNSS spoofing detection and mitigation in multireceiver configuration via tracklets and spoofer localization," *IEEE Access*, vol. 10, pp. 42014-42028, 2022.
- [28] F. Rothmaier, Y. H. Chen, S. Lo, & T. Walter, "GNSS spoofing detection through spatial processing," *Journal of Navigation*, vol. 68, no. 2, pp. 243-258, 2021.
- [29] Z. Lin, C. Haibin, & Z. Naitong, "Anti-spoofing extended Kalman filter for satellite navigation receiver," *IEEE Conference on Wireless Communications, Networking and Mobile Computing*, pp. 996-999, 2007.
- [30] M. R. Mosavi, R. Zebarjad & M. Moazedi, "Novel anti-spoofing methods based on discrete wavelet transform in the acquisition and tracking stages of civil GPS receiver," *International Journal of Wireless Information Networks*, vol. 25, no. 44, pp. 449-460, 2018.
- [31] L. Chun-Lin, "A tutorial of the wavelet transform," NTUEE, Taiwan, 2010.
- [32] R. Polikar, "The wavelet tutorial," IOWA State University, USA, 1996.
- [33] C. Taswell, "The what, how and why of wavelet shrinkage denoising," *Journal of Computing in Science and Engineering*, vol. 2, no. 3, pp. 12-19, 2000.
- [34] Y. Chen, Y. Cheng, & H. Liu, "Application of improved wavelet adaptive threshold de-noising algorithm in FBG demodulation," *Optik*, vol. 132, pp. 243-248, 2017.
- [6] M. Han, Y. Liu, J. Xi & W. Guo, "Noise smoothing for nonlinear time series using wavelet soft threshold," *IEEE Signal Processing Letters*, vol. 14, no. 1, pp. 62-65, 2007.
- [7] J. Baili, S. Lahouar, M. Hergli, I. L. Al-Qadi, & K. Besbes, "GPR signal de-noising by discrete wavelet transform," *Ndt and E International*, vol. 42, no. 8, pp. 696-703, 2009.
- [8] T. H. Yi, H. N. Li, & X. Y. Zhao, "Noise smoothing for structural vibration test signals using an improved wavelet thresholding technique," *Sensors*, vol. 12, no. 8, pp. 11205-11220, 2012.
- [9] D. L. Donoho & I. M. Johnstone, "Adapting to unknown smoothness via wavelet shrinkage," *J. Am. Statist. Assoc.* vol. 90, no. 432, pp. 1200-1224, 1995.
- [10] D. L. Donoho & I. M. Johnstone, "Ideal spatial adaptation via wavelet shrinkage," *Biometrika*, vol. 81, no. 3, pp. 425-455, 1994.
- [11] A. R. Baziari, M. R. Mosavi, & M. Moazedi, "Spoofing mitigation using double stationary wavelet transform in civil GPS receivers," *Wireless Personal Communications*, vol. 109 no. 3, pp. 1827-1844, 2019.
- [12] X. Gu, J. Shi, J. Li, Y. Huang & J. Lin, "Application of wavelets analysis in image denoising," *2008 International Conference on Apperceiving Computing and Intelligence Analysis*, pp. 49-52, 2008.
- [13] B. J. Yoon & P. P. Vaidyanathan, "Wavelet-based denoising by customized thresholding," *IEEE International Conference on Acoustics, Speech, and Signal Processing*, 2004.
- [14] G. X. Song & R. Z. Zhao, "Three novel models of threshold estimator for wavelet coefficients," *International Conference on Wavelet Analysis and Its Applications*, pp. 145-150, 2001.
- [15] M. R. Mosavi, M. Moazedi, M. J. Rezaei & A. Tabatabaei, "Interference mitigation in GPS receivers," *Iran University of Science and Technology*, 2015. (in persian)
- [16] K.D. Wesson, J.N. Gross, T.E. Humphreys, & B.L. Evans, "GNSS signal authentication via power and distortion monitoring," *IEEE Transactions on Aerospace and Electronic Systems*, vol. 54, no. 2, pp. 739-754, 2018.
- [17] X. Shang, F. Sun, L. Zhang, J. Cui, & Y. Zhang, "Detection and mitigation of GNSS spoofing via the pseudo-range difference between epochs in a multicorrelator receiver," *GPS Solutions*, vol. 26, no. 2, pp. 1-14, 2022.
- [18] D. P. Shepard & T. E. Humphreys, "Characterization of receiver response to spoofing attacks," *GPS World*, vol. 21, no. 9, pp. 27-33, 2010.
- [19] S. C. Lo & P. K. Enge, "Authenticating aviation augmentation system broadcasts," *IEEE/ION Position, Location and Navigation Symposium*, pp. 708-717, 2010.
- [20] C. Sun, J. W. Cheong, A. G. Dempster, H. Zhao, L. Bai, & W. Feng, "Robust spoofing detection for GNSS instrumentation using Q-channel signal quality monitoring metric," *IEEE Transactions on Instrumentation and Measurement*, vol. 70, pp. 1-15, 2021.

- [43] W. Yu & X. Li, "Fuzzy identification using fuzzy neural networks with stable learning algorithms," *IEEE Transactions on Fuzzy Systems*, vol. 12 no. 3, pp.411-420, 2004.
- [44] J. S. Heo, K. Y. Lee, & R. Garduno-Ramirez, "Multiobjective control of power plants using particle swarm optimization techniques," *IEEE Transactions on Energy Conversion*, vol. 21, no. 2, pp.552-561, 2006.
- [45] B. Jiao, Z. Lian, & X. Gu, "A dynamic inertia weight particle swarm optimization algorithm," *Chaos, Solitons & Fractals*, vol. 37, no. 3 pp.698-705, 2008.
- [46] M. Souza, J. F. G. Monico, A. Pagamisse & W. G. C. Polezel, "An effective wavelet method to detect and mitigate low-frequency multipath effects," *International Association of Geodesy Symposia*, vol. 132, pp. 179-184, 2008.
- [47] M. R. Azarbad & M. R. Mosavi, "A new method to mitigate multipath error in single-frequency GPS receiver with wavelet transform," *Journal of GPS Solutions*, vol. 18, no. 2, pp. 189-198, 2014.
- [48] D. L. Donoho, & I. M. Johnstone, "Ideal Spatial Adaptation by Wavelet Shrinkage," *Biometrika*, vol. 81, pp. 425-455, 1994.
- [49] D. L. Donoho, & I. M. Johnstone, "Adapting to unknown smoothness via wavelet shrinkage," *Journal of the American Statistical Association*, vol. 90, pp. 1200-1224, 1995.
- [50] D. L. Donoho, "Progress in wavelet analysis and WVD: a ten minute tour," *Progress in Wavelet Analysis and Applications* (Y. Meyer, and S. Roques, eds.). Gif-sur-Yvette: Editions Frontières, 1993.
- [51] D. L. Donoho, "De-noising by soft-thresholding," *IEEE Transactions on Information Theory*, vol. 42, no. 3, pp. 613-627, 1995.
- [35] R. Rangarajan, R. Venkataramanan, & S. Shah, "Image denoising using wavelets," *Wavelet and Time Frequencies*, vol. 14, pp. 1-14, 2002.
- [36] D. L. Donoho, & I. M. Johnstone, "Adapt to unknown smoothness via wavelet shrinkage", *Journal of the American statistical association*, vol. 90, pp.1200-1224, 1995.
- [37] A. K. Verma & N. Verma, "Performance analysis of wavelet thresholding methods in denoising of audio signals of some indian musical instruments," *Int. J. Eng. Sci. Technol.*, vol. 4, no. 5, pp. 2047-2052, 2012.
- [38] N. K. Al-Qazzaz, S. Ali, S. A. Ahmad, M. S. Islam, & M. I. Ariff, "Selection of mother wavelets thresholding methods in denoising multi-channel EEG signals during working memory task," *IEEE Conference on Biomedical Engineering and Sciences (IECBES)*, pp. 214-219, 2014.
- [39] M. stndag, A. Sengr, M. Gkbulut, & F. Ata, "Performance comparison of wavelet thresholding techniques on weak ECG signal denoising," *Przegld Elektrotechniczny*, vol. 89, no. 5, pp. 63-66, 2013.
- [40] D. Valencia, D. Orejuela, J. Salazar & J. Valencia, "Comparison analysis between rigrsure, sqtwolog, heursure and minimaxi techniques using hard and soft thresholding methods," *2016 XXI Symposium on Signal Processing, Images and Artificial Vision (STSIVA)*, pp. 1-5, 2016.
- [41] J. Kennedy & R. Eberhart, "Particle swarm optimization," *Proceedings of ICNN'95-International Conference on Neural Networks*, vol. 4, pp. 1942-1948, 1995.
- [42] Z. A. Bashir & M. E. El-Hawary, "Applying wavelets to short-term load forecasting using PSO-based neural networks," *IEEE Transactions on Power Systems*, vol. 24, no. 1, pp. 20-27, 2009.